

(c-3) 河川における縦方向の乱流拡散係数について

北海道大学工学部 柏 村 正 和
同 八 鍬 功

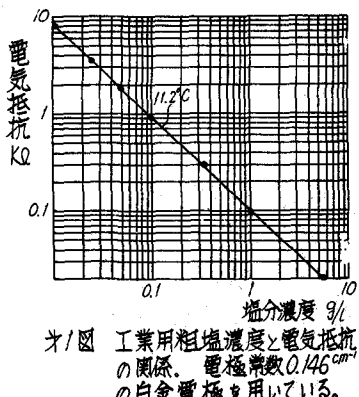
1 序

乱流は河川にかぎらず一般に水路を流れる水分子の交換混合をもたらすが、鉛直方向の交換は従来測定や理論的研究がよく行なわれている。これに反し縦方向の交換については比較的研究が少ないようである。しかしこの縦拡散は河川や水路の性質に重要な意味を持つているものであつて、たとえば上流における廃棄物が流下と共にどのように水中で稀釈されるかという問題や縦拡散が河川の水温分布にどのような影響を与えるかという問題と直接につながるものである。ここに筆者等が行なった塩水法¹⁾、あるいは水温の連続測定から実際の河川における縦方向の乱流拡散係数を求めた方法を発表しあわせてその実測値を紹介したいと思う。

2. 塩水法による縦方向の乱流拡散係数の測定

まず塩水法について述べよう。この方法は実験水路や閉管又は小規模の水路では以前から使用されている方法である。^{2) 3)} 河川の水塊の流達時間を求めるために昭和31年に北海道電力株式会社は自然河川ではおそらく初めての試みと思われる塩水法を採用した。⁴⁾ 筆者の一人がその測定を担当したのであるがそのあらましはつきのとおりである。北海道空知川の中流域延長4.5kmを各区1~4

kmの19区間に分割し各区間ごとに塩水の流下速度を求めるのであるが各区間では上流端で4.0~20.0 kgの工業用粗塩を水に溶解して準備しある時刻に一度に川の流心部に注ぎこみその時刻を基準にして下流端では刻々の塩分濃度を測定する。塩分は川の縦方向の拡散によつて流れの方向に拡がり下流端で測定した塩分濃度と時間の関係を示すグラフは一つの極大点を持つ曲線となるので塩分濃度の極大点を示す時刻から川水の平均流達所要時間を求めることができるのである。この考え方では別に塩水を用いる必要はないので染料でもよいのであるが塩水を用いる場合にはとくに川水の電気抵抗を測定することに



より容易に、しかも高い精度で塩分濃度の変化を測定できる大きな利点があつてそのためには塩水を使用するわけである（第1図参照）。電気抵抗の測定に筆者等はKohlrausch's bridgeと白金電極の組み合わせによつてこれを行なつてゐる。実際の測定結果の数例を第2図に示すことにしておこう。第2図の如き実測結果と理論的考察とから川の縦方向の乱流拡散係数が求まるのである。ここで縦方

向の拡散についての理論考察を行なつてみよう。

理想的状態として川を水路一様な定常等流と仮定し、塩分濃度を C 、縦の乱流拡散係数を η 、平均流速を v 、流下方向を x 軸、時間を t とすれば拡散の方程式として次式を得る。

$$\frac{\partial C}{\partial t} + v \frac{\partial C}{\partial x} = \eta \frac{\partial^2 C}{\partial x^2} \quad (1)$$

さらに川の流量を Q 、塩水投入点と塩分検出地点との距離を x_0 投入した塩の質量を S 、平均流達時間を t_0 としつぎの変換

$$C / \frac{S}{Q t_0} = C^*, \quad t / t_0 = \tau, \quad x / vt_0 - t / t_0 = \xi,$$

$$\eta / vt_0 = \eta^*$$

を行なえば(1)は簡単に無次元の拡散の方程式

$$\frac{\partial C^*}{\partial \tau} = \eta^* \frac{\partial^2 C^*}{\partial \xi^2} \quad (2)$$

となる。(2)の解は熱伝導や拡散の問題でよく知られているよう

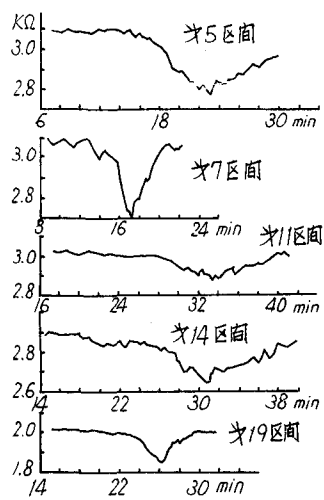


図2 1961年1月6~10日に
笠置川で測定したうちの
数例。

又初期、境界条件として塩水の投入条件に合わせて、微小な量 ϵ (> 0) を考え、 $t = 0$ 、 $x = 0$ で川の長さ $z \in \mathbb{N}$ にわたり濃度無次元値 C^* を一定値 C^*_{∞} 、その他の部分で 0 とすれば

$$\tau = 0.1 |\xi| > \frac{\xi}{x_0} \text{ で } C^*(\xi, \tau) = 0, \quad \tau = 0, \quad 1 \leq |\xi| \leq \frac{\xi}{x_0} \text{ で } C^*(\xi, \tau) = C^*_{\infty} \quad (4)$$

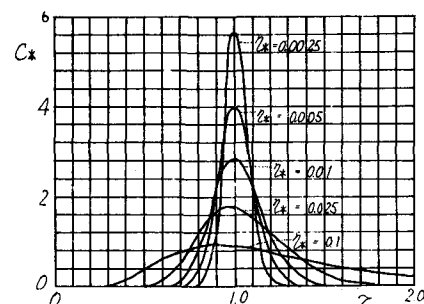


図3 図 C^* と z の関係を表す理論曲線

を得る。 $\tau = 0$ で(3)は

$$C^*(\xi, 0) = \int_0^\infty d\mu \int_{-\infty}^\infty K(\lambda) e^{-\mu^2 \eta^* \tau} \cos[\mu(\xi - \lambda)] d\lambda \quad (5)$$

となるが一般に Fourier 余弦積分

$$C^*(\xi, 0) = \frac{1}{\pi} \int_0^\infty d\mu \int_{-\infty}^\infty C^*(\lambda, 0) \cos[\mu(\xi - \lambda)] d\lambda \quad (6)$$

が成り立つからこれを(5)と比較することによつて

$$K(\lambda) = \frac{1}{\pi} C^*(\lambda, 0) \quad (7)$$

なる関係が得られ、従つて(3)は

$$C^*(\xi, \tau) = \frac{1}{\pi} \int_0^\infty d\mu \int_{-\infty}^\infty C^*(\lambda, 0) e^{-\mu^2 \eta^* \tau} \cos[\mu(\xi - \lambda)] d\lambda$$

$$C^*(\xi, \tau) = \frac{1}{\sqrt{4\pi\eta^*\tau}} \int_{-\infty}^{\infty} C^*(\lambda, 0) e^{-\frac{(\xi-\lambda)^2}{4\eta^*\tau}} d\lambda \quad (8)$$

となる。これに(4)の条件を入れることによつて

$$C^*(\xi, \tau) = \frac{1}{x_0 \sqrt{4\pi\eta^*\tau}} e^{-\frac{\xi^2}{4\eta^*\tau}} \quad (9)$$

を得る。又川の断面積を a とすると

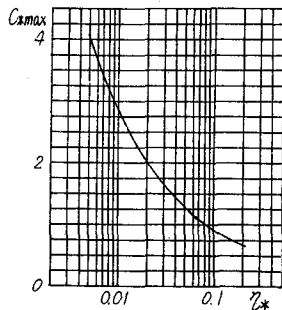


図4 図 濃度極大値と無次元化された拡散係数との無次元化された関係を示す理論曲線

となりこれが濃度を与える式であるが、さらに検出地点における測定濃度と時間の関係はその地点で

$$\xi = 1 - \tau \quad (11)$$

が成りたつことにより

$$C^*(\tau) = \frac{1}{\sqrt{4\pi\eta^*\tau}} e^{-\frac{(1-\tau)^2}{4\eta^*\tau}} \quad (12)$$

で与えられることになる。これが測定結果のグラフを無次元化した理論式であり図に示すと η^* の各値に対して図3の

おりになる。図3に見られるように C^* の極大値は $\tau < 1$ でおこり、 η^* が大きくなるとますます 1 から遠ざかり 0 に近づく。すなわち無次元化した拡散係数が大きければ検出塩分濃度の極大は平均流達時刻より早く起こることになり、この点は塩水法で流達時間を求める際によく注意する必要がある。 C^* が極大になると η^* は

$\tau = \sqrt{\eta^*} + 1 - \eta^*$ (13) で与えられる。ただし無次元化された拡散係数 η^* は実際の河川ではかなり小さいものであるので極大濃度の時刻をそのまま平均流達時間としてもそれほど大きな誤りはない。さて図2のような実測グラフと図3の理論曲線とを比較して η^* を決め、拡散係数 η を求めることができるが図2の電気抵抗曲線を塩分濃度曲線に変え、さらにそれを無次元化して理論曲線との適合度の最もよい η^* を求めるのはいかにも操作が煩雑なので別の方法を行なつた。すなわち測定した電気抵抗の極値から直接 C^* の極値に換算して η^* を求め η を得る方法である。(12)から C^* の極大値 C^*_{max} と η^* との関係は次式で与えられる。

$$C^*_{\text{max}} = \frac{\exp\{-\sqrt{\eta^* + 1 - 1}\}}{\sqrt{4\pi\eta^*} (\sqrt{\eta^* + 1 - 1})^{2.7}} \quad (14)$$

この曲線は図4で与えられる。電気抵抗の極値から η^*_{max} を求めれば図上でただちに η^* が得られる。筆者はこの方法で空知川の 19 の

区間	区間距離 km	塩量 kg	流量 $m^3/S \times 10^8 S$	t_0	C^*_{max}	η^*	η
No.1	1.40	80	3.6 1.83	1.60	$\times 10^{-2}$ 3.10	3.35	$\times 10^{-5} \text{ CGS}$
2	0.85	40	0.6	8.00	0.85	1.170	1.09
3	1.40	80	60.3	1.16	2.94	0.94	1.59
4	1.40	80	60.3	1.17	3.35	0.72	1.21
5	1.70	120	60.3	1.36	2.28	1.54	3.30
6	2.70	120	60.3	1.86	2.45	1.32	4.42
7	1.50	120	60.6	1.05	2.13	1.78	3.94
8	3.20	160	59.4	2.10	2.59	1.18	5.85
9	4.00	160	60.6	3.84	3.39	0.69	2.92
10	3.40	120	64.1	2.16	3.69	0.58	3.12
11	3.50	80	67.9	2.04	2.85	0.99	6.20
12	2.00	80	69.6	1.71	2.99	0.90	2.15
13	4.25	140	70.1	3.90	3.24	0.76	3.81
14	2.50	120	54.9	1.86	2.34	1.45	4.85
15	3.00	120	63.4	3.00	3.10	0.84	2.58
16	2.90	160	69.9	2.08	3.49	0.65	2.64
17	4.00	200	69.9	4.00	3.03	0.86	3.44
18	2.80	200	70.9	2.10	2.59	1.18	4.25
19	1.74	200	71.4	1.56	2.19	1.69	3.30

測定区間における縦方向乱流拡散係数を才1表の如く求めることができた。

このように空知川の如き比較的小さな河川の縦方向乱流拡散係数は $(1 \sim 6) \times 10^{-5} \text{ CGS}$ の程度におさまることが測定できた。もちろんこの値は流量によつて、さらに又河川の規模によつてかなり異なる値が期待されるが一つの実測例としてここに示すものである。

3. 水温日変化から縦方向の乱流拡散係数をもとめる方法

河川の下流部などで流量が多く川巾が広い場合には多量の塩水を要し、また河水の汚染等のため塩水到達時の電気抵抗の変化が少ないので塩水法を用いることは困難である。しかしこのような場合には次に述べる如く河川の2地点で水温日変化および平均流速を測定すれば、その振巾の減衰から2地点間における縦方向の乱流拡散係数の平均値をもとめすることが出来る。

流量が多く、水深が深い流れでは流水の熱容量が大きいため、河水は外界の熱的影響をうけにくく、熱量はもつばら水塊によつて運ばれる。⁵⁾ 従つて水温日変化の方程式は水温を θ 、縦方向の乱流拡散係数を η 、平均流速を v とすれば、外界から河水に与えられる熱量を無視して

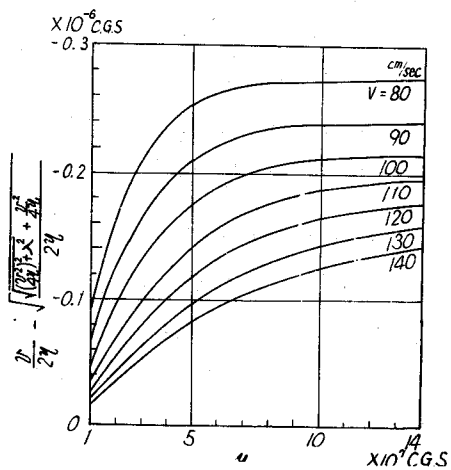
$$\frac{\partial \theta}{\partial t} + v \frac{\partial \theta}{\partial x} = \eta \frac{\partial^2 \theta}{\partial x^2} \quad (15)$$

によつてあらわされる。⁶⁾ ここに x は河水の流下方向、 t は時間をあらわし、横断面内では流れに直角な方向の乱流交換作用により河水の混合が行われるので水温は一定としたがこれは実測の結果とも一致する。いま水温日変化が正弦関数であらわされるものとし、ある地点 ($x = 0$) における日平均水温を θ_0 、振巾を Θ_0 とし、且 $\sigma = \frac{2\pi}{24} (1/\text{hr})$ とすれば $\theta(x=0) = \theta_0 + \Theta_0 \sin \sigma t$ となるから、この境界条件を用いて方程式(15)を解けば、任意の地点 x における水温 θ は次の式によつて与えられる。

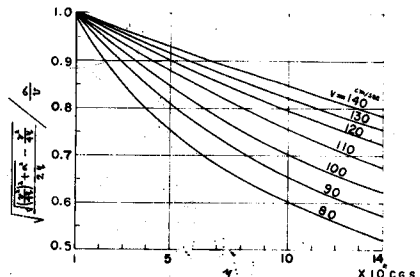
$$\theta = \theta_0 + \Theta_0 e^{\left\{ -\frac{v}{2\eta} \sqrt{\sqrt{\left(\frac{v^2}{4\eta}\right)^2 + \sigma^2} + \frac{v^2}{4\eta}} x \right\}} \times \cos \left\{ \sigma t - \sqrt{\sqrt{\left(\frac{v^2}{4\eta}\right)^2 + \sigma^2} - \frac{v^2}{4\eta}} x \right\} \quad (16)$$

すなわち日平均水温は地点 ($x = 0$) と同じであるが、振巾は河水の流下とともに減衰し、水温日変化の位相は河水の流下につれてだんだんおくれて行くことが分る。

いま一例として平均流速 v が $80, 90, 100, 110, 120, 130, 140 \text{ cm/sec}$ なるときの η を



才 5 図 (1)



才 5 図 (2)

$$\text{振巾減衰係数 } \left(\frac{\eta}{2} - \sqrt{\left(\frac{\eta^2}{4} \right)^2 + \sigma^2 + \frac{\eta^2}{4}} \right)$$

との関係を(16式)を用いて計算した結果を才5図(1)に示す。

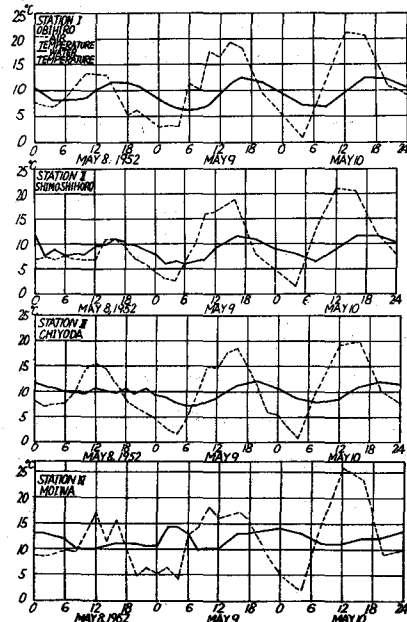
また才5図(2)には地点($x = 0$)における水温日

変化の位相を基準とした位相のおくれ

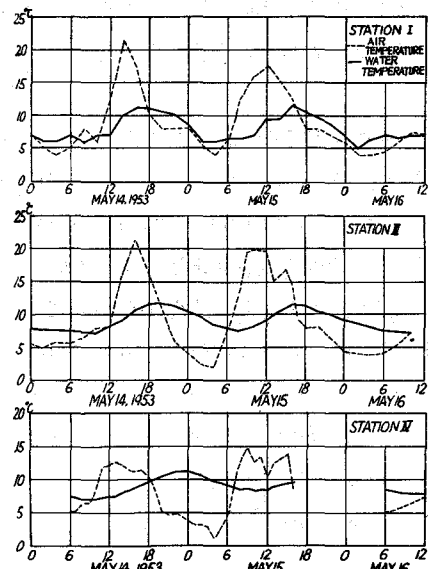
$$\sqrt{\left(\frac{\eta^2}{4} \right)^2 + \sigma^2} - \frac{\eta^2}{4} \times \frac{x}{\sigma}$$

と距離 x を水塊が流下するに要する時間 $\frac{x}{v}$ との比と η との関係を示したものである。図によつて明らかのように、ある平均流速 v に対し η が大きいときは減衰係数は一定の値が近づくが、 η が小さくなると減衰係数は急激に小さくなつて水温日変化の振巾はほとんど一定となり、位相のおくれは河水の流下に要した時間にひとしくなる。

ある河川の2地点で水温日変化および平均流速を測定すれば、才5図を用いてその地点間の η の平均値をもとめることが出来る。才6図(1)は1952年5月8日から10日までの3日間十勝川の帯広(測点I)、茂岩(測点IV)間の4地点で測定した水温および気温の日変化を示したものであり、また才6図(2)は1953年5月14日から16日までの3日間、同区間の3地点で同様の観測をした結果である。いずれの場合も平均流速をも測定したので、この測定の結果から上に述べた方法によつて十勝川中流部における縦方向の乱流拡散係数をもとめる。水温日変化の振巾としては一日の最高水温と最低水温の差の $\frac{1}{2}$ をとり、2測点における振巾の比から振巾減衰係数を出し、その区間の平均流速は2測点の平均流速の平均値をとつて、才5図(1)からその区間の η をもとめた。また位相差比はこの η と v に相当する値を才5図(2)からもとめたものである。結果は平均流速および流量とともに才2表に示してあるが、表によれば、1952年5月9日には流速の早い測点II～III間では測点III～IV間よりも η の値が大きくなつており、また1952年5月9日と1953年5月14日とを比較すれば、同一の区間(測点III～IV間)においても後者の方が流速も早く、 η も前者の2倍近い値となつてゐる。これは1953年5月の観測



才6図 (1)



才6図 (2)

期間には降雨による融雪水のため、流量が前者の場合の

第 2 表

観測月日	区間	平均流速 (m/sec)	流量 (m³/sec)	$\frac{v}{2\eta} - \sqrt{\left(\frac{v^2}{4\eta}\right)^2 + \sigma^2 + \frac{v^2}{4\eta}}$	η (OGS) 2η (OGS)	$\sqrt{\left(\frac{v^2}{4\eta}\right)^2 + \sigma^2 + \frac{v^2}{4\eta}} / v$
1952年5月9日	測点Ⅱ~Ⅲ (10.2 km)	1.41	210	-0.93×10^{-7}	5.8×10^7	0.92
1952年5月9日	測点Ⅲ~Ⅳ (17.0 km)	1.05	217	-0.75×10^{-7}	1.8×10^7	0.97
1953年5月14日	測点Ⅲ~Ⅳ (17.0 km)	1.27	406	-0.68×10^{-7}	3.1×10^7	0.98

2倍にも増大し、流れの状況が全く異つていたためで、これによつても η が流路や流れの複雑な関数であることが分る。また位相差比はいずれの場合も1に近い値を示しており、2地点間の水温日変化の位相のずれはほとんどその区間を河水が流下するに要する時間にひそしいことになる。

4. 結 語

2で塩水法によつて河川の縦方向の乱流拡散係数 η をもとめる方法を述べ、また3.では流量の大きな河川で水温日変化および平均流速の測定値から η をもとめる方法について述べたのであるが、それの方法によつて実測した空知川および十勝川の縦方向の乱流拡散係数を比較すると、空知川中流部では $(1 \sim 6) \times 10^6$ CGS、十勝川中流部では $(1.8 \sim 5.8) \times 10^7$ CGSで、後者は前者の約 10^2 倍の値となつてゐる。実測の結果によれば空知川では流量 $70 \text{ m}^3/\text{sec}$ 、川巾 $20 \sim 50$ m、水深 2 m 程度であり、一方十勝川は流量 $20 \text{ m}^3/\text{sec}$ 、川巾 $60 \sim 100 \text{ m}$ 、水深 2 m 程の大河川で、後者のscaleが前者よりはるかに大きいことから両者の乱流拡散係数の相異が理解出来る。

従来自然河川の縦方向の乱流拡散係数は測定のむずかしい量とされ、その実測はほとんど行なわれていなかつたが上記の如く2つの方法によつて実際の測定が可能であることを示した。

終りにのぞみ本研究に対し絶えず御指導ならびに御激励をいただいた北海道大学工学部福島久雄教授に深い感謝の意を表するものである。

文 献

- 柏村正和：空知川の縦の乱流拡散について、北大地球物理研究報告 第5号、1957.
- C.H.M. Allen and E.A. Taylor: The salt velocity method of water measurement, Trans. ASME, Vol. 45, 1923
- 池谷武雄：流量測定法 CGM文庫。
- 空知川流下時間の研究（その1, 2, 3）、北海道電力株式会社土木部計画課、昭和32年1月。
- I. Yakuwa: Phase of the diurnal variation of water temperature of a river, Memo Eng. Hokkaido Univ., Vol. 11, 1960.
- I. Yakuwa: The longitudinal turbulent motion of a river flow and its role on the diurnal variation of water temperature, Memo Eng. Hokkaido Univ., Vol. 11, 1962.